

Bild C1: Radialgitter (Siemenssterne) N-W, W-N, N-Z und W-Z; PS-Operator:  $w*lin\ 1.0\ exp\ setgray$

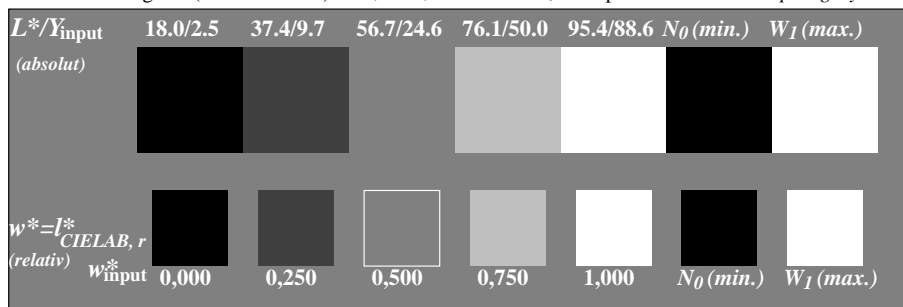


Bild C2: 5 visuell gleichabständige  $L^*$ -Graustufen +  $N_0$  +  $W_1$ ; PS-Operator:  $w*lin\ 1.0\ exp\ setgray$

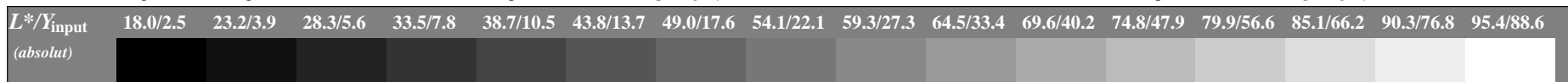


Bild C3: 16 visuell gleichabständige  $L^*$ -Graustufen; PS-Operator:  $w*lin\ 1.0\ exp\ setgray$ ; benutze Datei [www.bam.de/FE87/10L/L87E0iNA.PS](http://www.bam.de/FE87/10L/L87E0iNA.PS) oder [L87E0iNP.PS/.PDF](http://www.bam.de/L87E0iNP.PS/.PDF) (i=0,7) für DPS- oder PDF-Systeme zur Bild-Ergänzung

ISO/IEC-Prüfvorlage Nr. 3 nach

ISO/IEC 15775 und input:  $w*lin\ 1.0\ exp\ setgray$   
DIS ISO/IEC 19839-X; output:  $w*lin\ 1.0\ exp\ setgray$

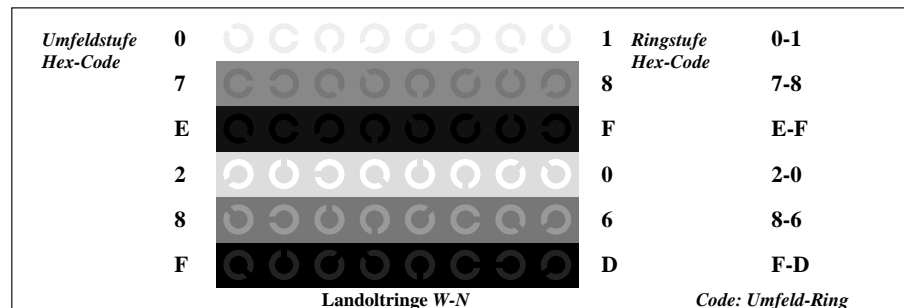


Bild C4: Landoltringe W-N; PS-Operator:  $w*lin\ 1.0\ exp\ setgray$

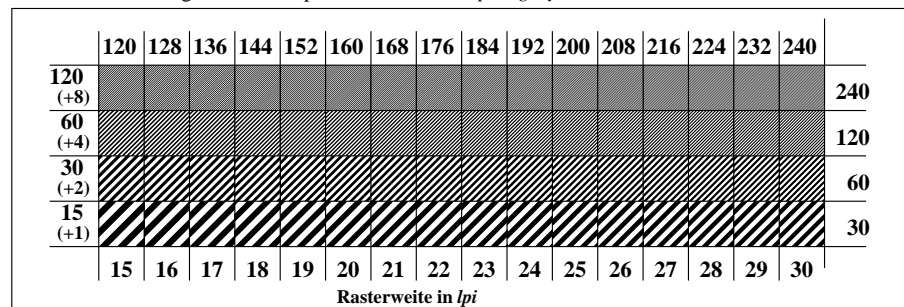


Bild C5: Linienraster unter 45° (oder 135°); PS-Operator:  $w*lin\ 1.0\ exp\ setgray$

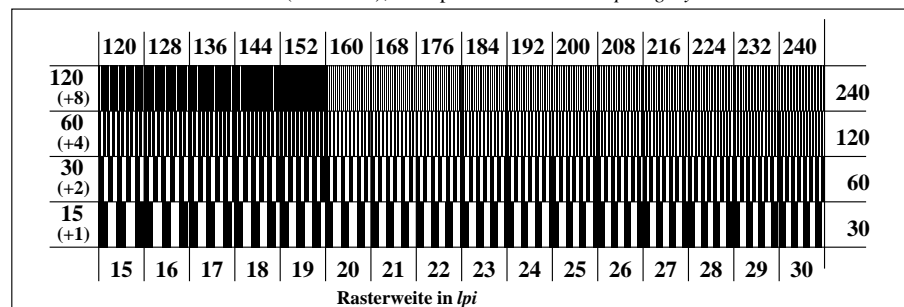


Bild C6: Linienraster unter 90° (oder 0°); PS-Operator:  $w*lin\ 1.0\ exp\ setgray$